

А К А Д Е М И Я Н А У К С С С Р  
СИБИРСКОЕ ОТДЕЛЕНИЕ  
А В Т О М Е Т Р И Я

№ 3

1970

УДК 621.317.733

С. М. КАЗАКОВ, Т. Н. МАНТУШ, В. Н. СУМИТЕЛЬНОВ  
(Новосибирск)

О ПОСТРОЕНИИ  
БЫСТРОДЕЙСТВУЮЩИХ ФАЗОЧУВСТВИТЕЛЬНЫХ ДЕТЕКТОРОВ  
НА ДИАПАЗОН ЧАСТОТ

При создании автоматических устройств, предназначенных для измерения параметров линейных пассивных двухполюсников в непрерывном диапазоне частот и содержащих системы уравновешивания с фазовыми указателями равновесия, большое значение приобретает рациональный выбор структуры указателя. В принципе возможно использование фазовых указателей с преобразователями частоты на входе и фазовым детектором, работающим на одной, строго заданной частоте [1]. Представляют, однако, интерес указатели, в которых фазовый детектор может сам работать в требуемом диапазоне частот, обеспечивая необходимую точность и скорость уравновешивания. При этом исключаются довольно сложные устройства преобразования частоты входных сигналов.

На наш взгляд, наиболее перспективными для работы в фазовых указателях на диапазон звуковых и ультразвуковых частот являются фазочувствительные (квадратурные) детекторы с интегрированием [2]. Они обладают высоким быстродействием и могут обеспечить хорошую точность уравновешивания измерительной цепи. Однако обратно пропорциональная зависимость коэффициента передачи таких детекторов (будем называть их интегрирующими) от частоты ограничивает их неиспользование в указателях на диапазон частот. Поэтому актуальной становится задача стабилизации коэффициента передачи детектора, работающего в непрерывном диапазоне частот.

Настоящая статья посвящена вопросу стабилизации коэффициента передачи интегрирующих фазочувствительных детекторов для непрерывного диапазона частот путем специального выбора времени интегрирования. При этом, в первую очередь, кратко рассмотрена возможность улучшения метрологических характеристик самих интегрирующих детекторов.

Принцип действия интегрирующего фазочувствительного детектора основан на интегрировании сигнального напряжения в течение полупериода опорного напряжения [2]. Если сигнальное напряжение имеет вид  $u(t) = U_m \sin(\omega t + \varphi)$ , а опорное —  $u_0(t) = U_{0m} \sin \omega t$ , то выходное напряжение детектора (при интегрировании в продолжение положительной полуволны  $u_0$ ) пропорционально интегралу:

$$\int_0^{\frac{\pi}{\omega}} u(t) dt = \frac{2 U_m \cos \varphi}{\omega}.$$

Оно равно нулю при  $90^\circ$  сдвиге сравниваемых напряжений. Быстродействие детектора соответствует полупериоду рабочей частоты.

В известном детекторе [2] интегрирование осуществляется с помощью ключа  $K_1$  и пассивной  $R - C$ -цепи (рис. 1, а); с помощью ключа  $K_2$  производится разряд конденсатора  $C$  через резистор  $R_H$ . Работой

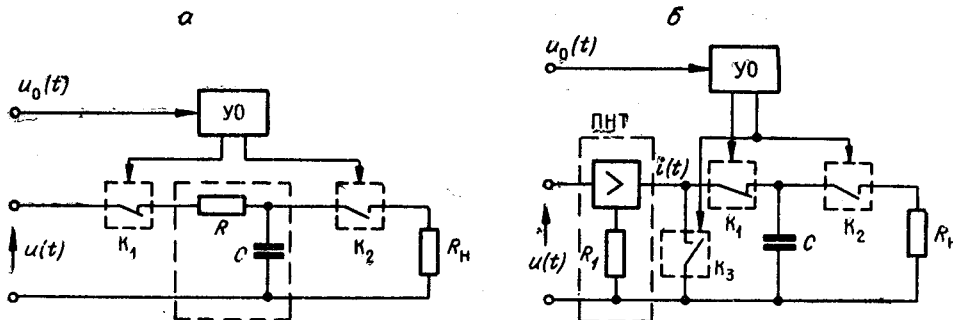


Рис. 1.

ключей управляет опорное напряжение через парафазный усилитель-ограничитель УО.

Недостаток такого детектора, обусловленный применением пассивного интегратора, заключается в малом коэффициенте передачи при заданной точности интегрирования. В принципе коэффициент передачи и точность интегрирования можно было бы повысить, используя вместо пассивного интегратора операционный интегрирующий усилитель постоянного тока. Однако детектор при этом существенно усложнился бы. Гораздо проще переменное сигнальное напряжение с помощью электронного усилителя преобразовать в переменный задающий ток, который затем через ключ, управляемый опорным напряжением, подать на конденсатор: интегратором в этом случае является только конденсатор. Преобразователь напряжения в ток (ПНТ) работает на переменном токе и может быть выполнен в виде усилителя с глубокой отрицательной обратной связью относительно выхода (см. рис. 1, б). Поскольку для генератора тока нормальным режимом является короткое замыкание, то синхронно с ключом  $K_2$  должен замыкаться вспомогательный ключ  $K_3$ , который совместно с ключом  $K_1$  образует переключатель тока. Задающий ток при достаточно глубокой обратной связи равен  $i(t) = \frac{u(t)}{R_1}$ , а напряжение на конденсаторе в конце одного полупериода интегрирования, определяющее амплитуду экспоненциальных импульсов разряда, принимает вид

$$u_{C_1} = \frac{1}{C} \int_0^{\frac{\pi}{\omega}} \frac{1}{R_1} U_m \sin(\omega t + \varphi) dt = \frac{A U_m}{\omega} \cos \varphi, \quad (1)$$

где

$$A = \frac{2}{R_1 C}.$$

Рассмотрим работу интегрирующего детектора в диапазоне частот. Независимо от того, используется ли в детекторе пассивная интегрирующая цепь или электронный преобразователь напряжения в ток, напряжение на конденсаторе, выделяемое за один полупериод, обратно пропорционально частоте. Электронный преобразователь позволяет существенно повысить величину этого напряжения на данной частоте, однако по мере ее роста значение  $u_{C_1}$ , как видно из (1), будет падать. Без применения специальных мер по стабилизации коэффициента передачи такой детектор практически невозможно использовать в широком диапазоне частот.

Коэффициент передачи может быть стабилизированным при одинаковом времени интегрирования одинаковым на всех частотах. Если это время выбрать равным полупериоду  $\frac{T_{\min}}{2}$  минимальной частоты и поддерживать постоянным на всех частотах, то напряжение  $u_C$  при этом тоже будет сохранять свое значение, соответствующее минимальной частоте. Действительно, пусть напряжение на конденсаторе при минимальной частоте  $\omega_{\min}$  в соответствии с (1) равно

$$u_C(\omega_{\min}) = \frac{A U_m}{\omega_{\min}} \cos \varphi. \quad (2)$$

Нетрудно показать, что при идеальном преобразователе «напряжение — ток» и отсутствии утечки заряда с конденсатора напряжение на нем за  $n$  полупериодов более высокой частоты  $\omega$  достигает величины

$$u_C(\omega) = \frac{A U_m}{\omega} n \cos \varphi. \quad (3)$$

На всех частотах  $\omega'$ , кратных  $\omega_{\min}$ , время интегрирования  $\frac{T_{\min}}{2}$  включает в себя целое число полупериодов, равное  $n = \frac{\omega'}{\omega_{\min}}$ , и, согласно (3),  $u_C(\omega') = u_C(\omega_{\min})$ . На частотах  $\omega''$ , некратных  $\omega_{\min}$ , время интегрирования  $\frac{T_{\min}}{2}$  не равно целому числу полупериодов; необходимое время может быть получено только из  $\left[ \frac{\omega''}{\omega_{\min}} \right] + 1$  полупериодов ( $\left[ \frac{\omega''}{\omega_{\min}} \right]$  — целочисленное значение отношения) путем соответствующего симметричного сокращения либо каждого из них, либо только последнего полупериода.

Устройство управления ключами, поддерживающее время интегрирования постоянным на некратных частотах, в принципе может быть построено, но оно оказывается довольно сложным. В то же время, как будет показано ниже, устройство управления ключами, задающее время интегрирования по целому числу полупериодов кратных частот, получается довольно простым.

Определим, как будет изменяться напряжение  $u_C(\omega)$  в промежутках между кратными частотами, если и на некратных частотах время интегрирования задавать близким к  $\frac{T_{\min}}{2}$  по целому числу полупериодов. Поскольку время интегрирования набирается по полупериодам, то очередной полупериод может включаться в интегрирование либо при прохождении кратной частоты, либо в середине промежутка между

кратными частотами. Соответствующие этим вариантам зависимости  $u_C(\omega)$  представляются кривыми 1 и 2, показанными на рис. 2.

Скачкообразное изменение кривой 1 при малейшем превышении рабочей частотой кратных частот обусловливается автоматическим увеличением длительности интегрирования на один полупериод (при  $\omega > \omega_{\min}$  интегрируются уже два полупериода, при  $\omega > 2\omega_{\min}$  три полупериода и т. д.). Амплитуды скачков напряжения  $u_C$  (см. кривую 1) будут уменьшаться по закону

$$\Delta u_C(m\omega_{\min}) = \frac{1}{m} u_C(\omega_{\min}),$$

где  $m$  — кратность частот ( $m=1, 2, \dots, p$ ). Наибольший скачок напряжения имеет место вблизи частоты  $\omega_{\min}$ ; с ростом частоты отклонения  $\Delta u_C$  заметно уменьшаются: так, уже на частоте  $10\omega_{\min}$  относительное приращение напряжения не превосходит 10%. В промежутках между кратными частотами  $u_C$  изменяется обратно пропорционально частоте.

Во втором случае (см. кривую 2), когда захват каждого нового полупериода производится в серединах промежутков между кратными частотами, характер зависимости  $u_C(\omega)$  изменяется. При этом кривая располагается симметрично относительно  $u_C(\omega_{\min})$ , а амплитуды скачков напряжения выражаются формулой

$$|\Delta u_C[(m+0,5)\omega_{\min}]| = \frac{1}{2m+1} u_C(\omega_{\min}),$$

где значения  $m$  соответствуют кратностям частот, лежащих в началах промежутков; следовательно, здесь зависимость  $u_C(\omega)$  получается более равномерной — скачки напряжения имеют меньшую величину, а его среднее значение во всем диапазоне частот постоянно.

Рассмотренный принцип интегрирования по целому числу полупериодов на всех частотах, включая и некратные, может быть положен в основу фазовых указателей  $90^\circ$  сдвига для цифровых мостов переменного тока. Незначительные колебания коэффициента передачи детектора в диапазоне частот не вызовут снижения точности автоматического уравновешивания моста.

Схема разработанного авторами фазочувствительного детектора с интегрированием по целому числу полупериодов приведена на рис. 3. В состав детектора, кроме уже известных элементов (ПНТ,  $K_1, K_2, K_3, C, YO$ ), входят одновибраторы  $OB_1, OB_2$ , триггер  $T$ , схемы совпадений  $CC_1, CC_2$  и ключ  $K_4$  на входе усилителя-ограничителя.

Одновибраторы обеспечивают требуемые временные задержки при управлении ключами во всем диапазоне частот. Из соображений максимального быстродействия длительность импульсов одновибраторов  $OB_1$  и  $OB_2$ , предопределяющих такты считывания (разряд конденсатора  $C$ ) и интегрирования, соответственно выбирается равной  $\frac{T_{\min}}{2}$  и  $T_{\min}$ . Запуск одновибраторов осуществляется схемами совпадений, на

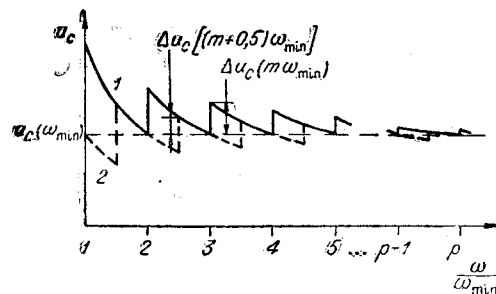


Рис. 2.

вход каждой из которых, кроме сигналов триггера и одновибратора, поступают полуволны опорного напряжения, соответствующие полупериодам неинтегрирования. Благодаря этому срабатывание одновибраторов, триггера, а также ключей происходит только в эти полупериоды, чем обеспечивается четкое задание границ времени интегрирования.

Заметим также, что напряжение с интегрирующего конденсатора можно снимать как в виде экспоненциального импульса, так и в виде прямоугольного. В последнем случае легче избавиться от коммутационных помех, применяя, например, стробирование, а цепь разряда конденсатора ЦР (см. рис. 3) выполняя высокомомной с использованием дополнительного разрядного ключа.

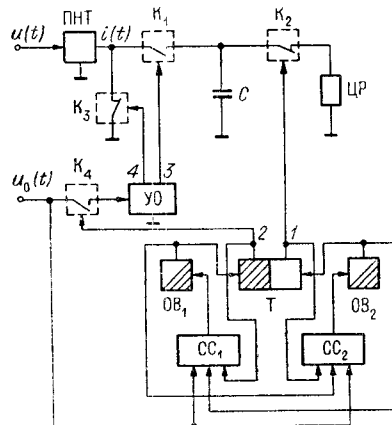


Рис. 3.

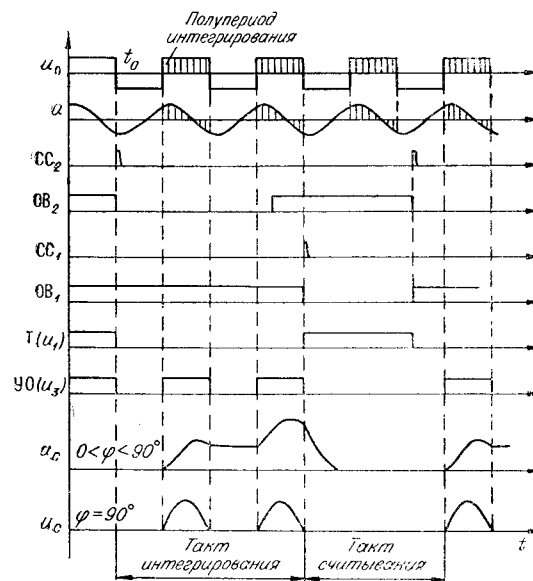


Рис. 4.

Рассмотрим работу указателя, начиная с такта считывания, когда одновибраторы и триггер находятся в показанном на схеме исходном состоянии, ключи  $K_2$ ,  $K_3$  замкнуты, а  $K_1$  и  $K_4$  разомкнуты. В момент  $t_0$  (рис. 4) на схемы совпадений поступает полуволна опорного напряжения, соответствующая полупериоду интегрирования, и, согласно состоянию триггера и одновибратора  $OB_1$ , срабатывает схема  $CC_2$ . При этом запускается одновибратор  $OB_2$ , переключается триггер, и начинается такт интегрирования: ключ  $K_2$  разомкнут,  $K_4$  замкнут, а ключи  $K_1$ ,  $K_3$  периодически (на частоте  $\omega_{\text{imp}}$  один раз) срабатывают по мере следования полупериодов интегрирования и неинтегрирования. Конденсатор интегрирует выходной ток преобразователя. После возвращения одновибратора  $OB_2$  в исходное состояние и с приходом очередного полупериода неинтегрирования срабатывает схема  $CC_1$  (см. рис. 4), которая запускает первый одновибратор; при этом триггер возвращается в исходное состояние, ключи  $K_1$ ,  $K_4$  размыкаются,  $K_2$ ,  $K_3$  замыкаются, и начинается такт считывания с разрядом конденсатора. Далее, после возвращения в исходное состояние  $OB_1$  и прихода очередного полупериода неинтегрирования вновь срабатывает схема  $CC_2$ , и начинается новый такт интегрирования.

Зависимость коэффициента передачи разработанного детектора от частоты представляется кривой 2 (см. рис. 2) (если на схемы совпадений, вместо целых полуволн опорного напряжения, были бы поданы

импульсы, сформированные в начале полупериодов неинтегрирования, то эта зависимость определялась бы кривой 1).

Указатель хорошо работает в диапазоне частот от десятков герц до 100 кгц. Погрешность указания  $90^\circ$  сдвига находится в пределах от нескольких десятых градуса до единиц градусов в конце диапазона, что приемлемо даже для высокоточных цифровых мостов.

Авторы благодарны канд. техн. наук К. М. Соболевскому за внимание и помощь, оказанные при подготовке настоящей статьи.

#### ЛИТЕРАТУРА

1. Л. Я. Мизюк. Електронні покажчики змінної напруги. Київ, Держтехвидов УРСР, 1960.
2. Ф. Б. Гриневич. Автоматические мосты переменного тока. Новосибирск, РИО СО АН СССР, 1964.

*Поступила в редакцию  
30 декабря 1969 г.*